

کنترل موقعیت عملگر سرو نیوماتیک آزمایشگاهی

به روش مد لغزشی

فرید نجفی^۱ و مرتضی فتحی^۲

آزمایشگاه تحقیقاتی عملگرهای دانشکده مهندسی مکانیک، دانشگاه صنعتی خواجه نصیرالدین طوسی

چکیده

در این مقاله، دو کنترلر ردیابی موقعیت بر اساس روش مدولاسیون پهنهای باند برای عملگر نیوماتیکی متشکل از یک سیلندر دوطرفه کنترل شده به وسیله شیرهای سلنوئیدی دو وضعیتی و سه راهه قطع/وصل ارائه شده است. کنترلر اول یک کنترلر PID معمولی است که بهره‌های آن از روش زیگلر-نیکولز تعیین شده‌اند. کنترلر دوم، یک کنترلر مود لغزشی است که بر پایه مدل ریاضی ارائه شده و بر اساس الگوریتم PWM خاصی برای غلبه بر برخی عوامل غیرخطی کننده، مثل زمان مرده در اثر تأخیر زمانی به هنگام باز و بسته‌شدن شیرها و باند مرده به علت چسبندگی پیستون با جداره سیلندر، طراحی شده است. نتایج کنترلر PID در تست‌های تجربی سیستم حلقه‌بسته نشان‌دهنده مناسب بودن الگوریتم PWM در کنترل سیستم‌های سرونیوماتیک با دقت بالاست. مقادیر خطاهای حالت ماندگار در پاسخ کنترلر PID به ورودی‌های پله، نزدیک به میزان دقت قابل اندازه‌گیری برای موقعیت پیستون در سیستم سرونیوماتیک ساخته شده (0.12 mm) می‌باشد. مقایسه مقادیر خطای ماکریم و جذر میانگین مربعات خطا (RMS) در نتایج تست‌های حلقه‌بسته سیستم، در پاسخ به ورودی‌های سینوسی با فرکانس‌های مختلف، نشان می‌دهد کنترلر مود لغزشی نسبت به کنترلر PID توانایی و دقت بالاتری دارد. این روند، در جایی که فرکانس مسیر ورودی افزایش می‌یابد، بیشتر محسوس است. این روش در مقایسه با سایر کارهایی هم که در آنها از ریشه‌های تناسبی استفاده شده، نتایج بهتری را نشان می‌دهد.

واژه‌های کلیدی: عملگر، سرو نیوماتیک، کنترل موقعیت، کنترل مود لغزشی، مدولاسیون پهنهای پالس

Position Control of an Experimental Servo Pneumatic Actuator, Using Sliding Mode Control

F. Najafi and M. Fathi

Actuators Research laboratory, of Mech. Eng. Dep't., K.N. Toosi University of Tech.

ABSTRACT

In this paper, two position controllers have been developed for a double-acting pneumatic cylinder with two 3/2 on/off solenoid valves, using PWM method. The first one is a PID controller, whose gains have been obtained by Zighler-Nicoltz method. The second one - a Sliding Mode Controller (SMC) - has been designed based on a specific mathematical model, where an appropriate PWM method has been applied to overcome non-linearities such as time delay, during opening or closing of valves, and deadband due to stiction. The results of experimental tests on the closed loop system with the PID controller illustrate that the PWM method is suitable for servo control purposes with high accuracy. Furthermore, high accuracy was also achieved in experimental results in response to step inputs. Small values of maximum and Root Mean Square (RMS) positioning errors in response to sinusoidal inputs with various frequencies show better accuracy of SMC controller in comparison with the PID one. Good performance of the developed SMC is even more evident as frequency increases. These results also show considerable improvements in accuracy in comparison with the results of previous works on costly proportional valves.

Key Words: Actuator, Servo Pneumatic, Position Control, Sliding Mode Control, Pulse Width Modulation

۱-استادیار (نویسنده پاسخگو): fnajafi@kntu.ac.ir

۲-کارشناس ارشد: morteza.fathi@gmail.com

لی و همکارانش^۴ یک روش کنترل موقعیت جدید، شامل یک حلقه کنترل فشار داخلی که از یک کنترل PID بر پایه خطی‌سازی فیدبک استفاده می‌نمود و یک PID حلقه کنترل موقعیت بیرونی مشتمل از یک کنترلر PID با جبران‌سازی اصطکاک، برای یک سیستم نیوماتیکی شامل یک عملگر و یک شیر تناسبی پنج راهه ارائه نمودند[۸]. نتایج کنترلر آنها به ورودی سینوسی با فرکانس Hz ۰/۲ و دامنه mm ۳۰، حداقل خطا ۶/۶ mm و RMS خطا ۲/۱mm را به همراه داشت. استفاده از شیرهای سلنوئیدی قطع/وصل^۵ هزینه نهایی در سیستم‌های سرو نیوماتیک را به طور چشمگیری کاهش می‌دهد. بنابراین برخی محققان به روش‌هایی چون مدولاسیون پهنه‌ای پالس^۶ (PWM) که قابلیت کنترل سرو عملگرهای نیوماتیکی را با استفاده از این شیرها فراهم می‌آورد، روی آوردن. ونوارسولد و بونه^۷ از طرحی خاص برای تبدیل مقدار سیگنال کنترلی به مقادیر نسبت وظیفه^۸ هر یک از شیرها در روش PWM بهره گرفتند که در نتیجه آن مشکل غیرخطی بودن پاسخ سیستم وجود باند مرده در آن حل می‌شد. نتایج کنترلر به کار برده شده توسط آنها (کنترلر PID گستته با عمل انگالی محدود) برای تعقیب مسیر S شکل ۶^۹ میلی‌متری (به مدت زمان ۱ثانیه) دقیقی در حدود ۲mm را به همراه داشت[۹]. کار تقریباً مشابهی برای کنترل سیلندر نیوماتیکی قرار گرفته به صورت عمودی، توسط جنتایل و همکاران^{۱۰} انجام گرفت که در آن اثرات نیروی جاذبه در نظر گرفته می‌شد[۱۰]. آهن و یوکوتا^{۱۱} یک روش کنترل سوئیچ‌کننده هوشمند برای کنترل موقعیت یک سیلندر نیوماتیکی بدون میله، با استفاده از شیرهای سلنوئیدی قطع/وصل از نوع ۲/۲، که نسبت به تغییرات مقادیر بارهای خارجی اعمالی روی پیستون مقاوم بود، ارائه نمودند[۱۱]. آون و همکارانش^{۱۲} از یک کنترلر مود

۱- مقدمه

از دیر باز نیوماتیک نقش مهمی در اجرای کارهای مکانیکی داشته است. اما به طور معمول، اولین گزینه برای به کارگیری در سیستم‌های سرو نیست. عوامل غیرخطی کننده‌ای مثل اصطکاک، تراکم‌پذیری هوا و زمان تأخیر در شیرهای فرمان‌دهنده، رسیدن به اهداف کنترلی در نیوماتیک را مشکل ساخته‌اند؛ اما مزایایی از قبیل هزینه پایین، نسبت نیرو به وزن بالا، نگهداری راحت، تمیزی و اینمی بالاتر در محیط‌های اشتغال پذیر سبب شده است که از عملگرهای نیوماتیکی به طور گستردۀ در صنایع مختلف استفاده شود. اگر به این عملگرها توانایی رديابی موقعیت داده شود، می‌توان در بسیاری از کاربردهای اتوماسیون، رباتیک، پزشکی و واسطه‌های لامسه‌ای از آنها بهره برد. در دهه ۹۰ میلادی با افزایش سرعت کامپیوترهای دیجیتال، امکان به کارگیری تکنیک‌های کنترل غیرخطی مهیا شد و در نتیجه آن، ۱۹۹۳ قدرت کنترلرها افزایش یافت. در سالهای ۱۹۹۱ و ۱۹۹۳ از کنترلرهای تطبیقی برای اعمال نیرو و رديابی موقعیت مسیر عملگرهای نیوماتیکی استفاده گردید[۱-۲]. در بیشتر کارهای صورت گرفته برای کنترل سیستم‌های سرو نیوماتیکی، از شیرهای گران قیمت سرو و تناسبی استفاده شده است. سرجنر و وان^۱ با استفاده از این نوع شیرها، موقعیت سیلندر دوطرفه نیوماتیکی را با دقیقی در حدود mm ۰/۲ در مسیرهای پله کنترل نموده و نشان دادند که کنترلر مود لغزشی نسبت به افزایش جرم سیستم، در مقایسه با کنترلر معمولی (فیدبک موقعیت و اختلاف فشار محفظه‌های سیلندر) بسیار مقاوم‌تر است[۳]. در سال ۲۰۰۱، وانگ و همکارانش^۲ توانستند با استفاده از راهبرد کنترل مقاوم با خطای حداقل ۸ mm، موقعیت سیلندر نیوماتیکی را در مسیر S شکل (به مدت زمان ۱/۵ ثانیه) کنترل نمایند[۴،۵]. ریچر و هرمزلو^۳ در بررسی خود از دو کنترلر غیرخطی نیرو بر پایه تئوری کنترل مود لغزشی، یکی با مرتبه کامل و دیگری با مرتبه کاهش یافته استفاده نمودند[۶،۷].

5-Lee et al. 2002

6-On/Off Valves

7-Pulse Width Modulation (PWM)

8- Varseveld and Bone 1997

9- Duty Cycle

10 - Gentile et al. 2002

11- Ahn and Yokota 2005

12 - Arun et al. 1994

1-Surgenor & Vaughan 1997

2-Wang et. al. 1999, 2001

3-Richer and Hurmuzu 2000a, 2000b

دلیل تأخیر زمانی به هنگام باز و بسته شدن شیرها جست و جو کرد. در این مقاله، برای برطرف کردن این ضعف، از الگوریتم تبدیل خاصی در روش PWM [۹] که توانایی غلبه بر عوامل غیرخطی کننده مذکور را دارد، بهره گرفته شده است. ضمناً با توجه به عدم قطعیت‌های موجود در مدل ارائه شده، از قبیل نوع فرآیند ترمودینامیکی سپری شده به هنگام پر و خالی شدن محفظه‌های سیلندر از هوا، مدل ساده شده اصطکاک، میزان دقت در تعیین ثوابت نرخ جریان شیرها و صرفنظر کردن از دینامیک‌های فرکانس بالای سیستم، از کنترلر مود لغزشی که توانایی غلبه بر هر دو دسته عدم قطعیت‌های پارامتری و غیرساختاری مذکور را دارد، استفاده شده است.

برای هماهنگ سازی کنترلر مود لغزشی با الگوریتم PWM مذکور روابط ریاضی مفصل و پیچیده‌ای استخراج گردید و روی مجموعه آزمایشگاهی سرو نیوماتیک ساخته شده به کار گرفته شد. همچنین در این مقاله، دو کنترلر ردبایی موقعیت بر اساس روش PWM مذکور، برای مجموعه سرو نیوماتیک ساخته شده، متشکل از یک سیلندر دوطرفه کنترل شده به وسیله شیرهای سلنئیدی دو وضعیتی و سه راهه قطع/وصل ارائه شده است. کنترلر اول، یک کنترلر PID معمولی می‌باشد که بهره‌های آن از روش زیگلر-نیکولز تعیین شده است. کنترلر دوم، کنترلر مود لغزشی است که روابط آن بر اساس الگوریتم PWM مذکور و بر پایه مدل ریاضی ارائه شده در قسمت اول این مقاله که صحت آن توسط تست‌های حلقه باز مجموعه آزمایشگاهی تأیید گردیده، استخراج شده است. این کنترلرها، کارایی بالای را هم در نتایج شبیه‌سازی عددی و هم در نتایج تست‌های تجربی، از خود نشان داده‌اند. مقایسه مقادیر خطای حداکثر و RMS^۱ خطأ در نتایج تست‌های حلقه بسته سیستم در پاسخ به ورودی‌های سینوسی با فرکانس‌های مختلف، نشان از توانایی و دقت بالاتر کنترلر مود لغزشی نسبت به کنترلر PID دارد. این مسئله، وقتی فرکانس مسیر ورودی افزایش می‌یابد، بیشتر محسوس است. همچنین نتایج این کنترلر بهتر از نتایج ارائه شده در مرجع [۷].

4-Root Mean Square (RMS)

لغزشی^۲ کاهش مرتبه یافته، برای تعقیب مسیرهای پله توسط سیلندر نیوماتیکی استفاده نمودند که برخی فرضیات ساده کننده در ساختار کنترل آنها، سبب کاهش توانایی آن در از بین بردن اثرات غیرخطی کننده سیستم نیوماتیک می‌شد [۱۲].

کلیه کارهای صورت گرفته مذکور، دارای ضعفهایی می‌باشد که در زیر فهرست شده‌اند:

۱- کارایی اغلب این کنترلرها فقط با ورودی‌های پله سنجیده شده‌اند [۳ و ۱۰-۱۲]^۳؛ حال این که در بسیاری از کاربردها نیاز به تعقیب مسیرهای هارمونیک توسط عملگر نیوماتیکی می‌باشد.

۲- در مواردی هم که پاسخ کنترلر به ورودی‌های سینوسی مورد بررسی قرار گرفته است، از شیرهای گران قیمت و نسبتاً بزرگ و سنگین تناسی استفاده شده است [۶-۸].

۳- تنها در مرجع ۹ پاسخ سیستم کنترلی که از شیرهای قطع/وصل استفاده می‌نماید، به ورودی آن S-Curve هم فقط با یک دامنه و زمان مشخص مورد ارزیابی قرار گرفته است. ضمن آن که کنترلر آن‌ها ساده بوده و توانایی بالایی در غلبه بر عدم قطعیت‌های ساختاری و غیرساختاری، همچنین اغتشاشات خارجی این گونه سیستم‌ها ندارد.

هدف این مقاله، کنترل موقعیت سیلندر دوطرفه نیوماتیکی با استفاده از شیرهای قطع/وصل، به طوری که بتواند مسیرهای هارمونیک با دامنه و فرکانس‌های مختلف را تعقیب نماید، می‌باشد. بارس و همکارانش^۴ و همچنین شن و همکارانش^۵ برای اولین بار توانستند به کمک روش میانگین‌گیری، از کنترلرهای مود لغزشی و روش PWM برای کنترل سیلندر دوطرفه نیوماتیکی در مسیرهای سینوسی استفاده نمایند [۱۳-۱۴]^۶؛ اما دقت کنترلر آن‌ها چندان چشمگیر نبود که علت آن را می‌توان در ضعف الگوریتم PWM مورد استفاده آنها در حذف عوامل غیرخطی کننده‌ای چون باند مرده به دلیل چسبندگی پیستون با جداره سیلندر و زمان مرده به

1-Sliding Mode

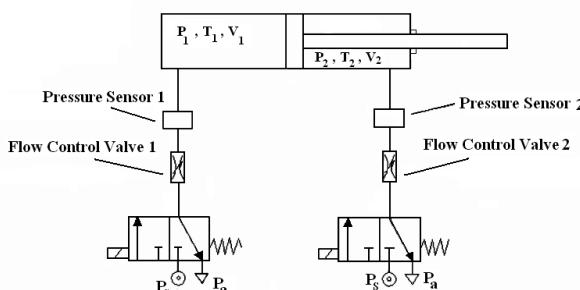
2-Barth et al. 2002

3-Shen et al. 2004

که در آن، P_d و P_u به ترتیب فشار پایین دست و بالا دست جریان، T_o دمای سکون هوا، A_v سطح مقطع مؤثر اریفیس (در اینجا شیرهای کنترلی قطع/وصل)، C_d ثابت تخلیه و b نسبت حرارتی ویژه می‌باشد. چگونگی محاسبه مقدار A_v در رابطه (۵) بر حسب شکل ولتاژ اعمالی به سلنوئید شیرهای فرمانده، با توجه به زمان‌های تأخیر، برخاست و نشت شیرها صورت می‌گیرد.

۳- الگوریتم PWM

عموماً در کاربردهای موقعیت دهی (مانند کنترل موقعیت یا نیرو در سیلندرهای دوطرفه نیوماتیکی) باید بتوان دبی‌های جرمی متفاوتی را به صورت پیوسته در داخل المان‌های نیوماتیکی عبور داد؛ از شیرهای سرو یا تابسی در چنین سیستم‌هایی استفاده می‌گردد؛ اما در برخی موارد نیاز به کنترل المان نیوماتیکی در زمان‌های کوتاه و با صرف هزینه پایین می‌باشد که با توجه به ارزانتر بودن شیرهای قطع/وصل نسبت به شیرهای مذکور، از آن‌ها استفاده می‌گردد.



شکل(۱): مدار نیوماتیکی سیستم.

از آنجایی که شیرهای سلنوئیدی قطع/وصل، فقط دو مقدار دبی صفر یا ماکزیمم را در دو حالت کاملاً بسته یا باز از خود عبور می‌دهند؛ به همین دلیل از روش مدلسازیون پهنانی پالس (PWM) بھره گرفته می‌شود. در این روش، با توجه به مقدار ورودی کنترلی u ، برای هر بازه زمانی نمونه برداری از سیستم، مدت زمان باز و بسته بودن شیر تعیین می‌شود و معادل با این زمان‌ها، دستور باز یا بسته بودن (پالس الکتریکی) به شیر ارسال می‌شود.

که بهترین نتایج را نسبت به محققان دیگر کسب نموده بودند و ضمناً از شیرهای توپانتر و گران‌تر تناسبی بھره برده‌اند (بیشترین خطای RMS ۶/۶ mm و خطای ۲/۱ mm در فرکانس ۰/۲ Hz و دامنه ۳۰ mm، می‌باشد).

۲- مدل سیستم

شکل شماتیک سیستم نیوماتیکی مورد مطالعه، در شکل ۱ نشان داده شده است و معادلات حالت عملگر

$$\dot{x} = v \quad (1)$$

$$(2)$$

$$\dot{v} = \frac{P_1 A_1 - P_2 A_2 - P_a A_{rod} - F_f - \beta v - F_{load}}{m} \quad (3)$$

$$\dot{P}_k(t) = \frac{P_k K}{V_k} (\dot{m}_{in_k} \frac{T_{in} R}{P_k} - \dot{m}_{out_k} \frac{R T_k}{P_k} - V_k) \quad k=1,2 \quad (4)$$

$$\dot{T}_k(t) = (K T_{in} - T_k) \frac{R \dot{m}_{in_k}}{P_k V_k} T_k - (K-1) \frac{R \dot{m}_{out_k}}{P_k V_k} T_k^2 - (K-1) \frac{\dot{V}_k}{V_k} T_k \quad k=1,2$$

در روابط فوق، x و v موقعیت و سرعت پیستون، m مجموع جرم قسمت‌های متحرک دستگاه، P_1 و P_2 فشار محفظه‌های سیلندر، T_1 ، T_2 دمای این محفظه‌ها، A_1 و A_2 سطح مقطع دو طرف پیستون، A_{rod} سطح مقطع میله پیستون، R ثابت عمومی گاز، K نسبت حرارتی ویژه، F_f نیروی اصطکاک کولمب، β ثابت اصطکاک ویسکوز، F_{load} نیروی ناشی از بار خارجی، P_s فشار هوای تغذیه، دمای هوای ورودی و P_a و نیز دما و فشار محیط می‌باشدند. \dot{m}_{in_k} و \dot{m}_{out_k} نیز، مقدار دبی‌های جرمی ورودی و خروجی به و از محفظه شماره k (امکن برابر ۱ یا ۲) سیلندر می‌باشدند.

برای محاسبه دبی‌های ورودی به و خروجی از محفظه‌های سیلندر، از تئوری اریفیس واقعی [۱۷] استفاده می‌شود که رابطه آن در زیر ارائه شده است:

$$(5)$$

$$\dot{m} = C_d A_v \begin{cases} \frac{P_u}{\sqrt{RT_o}} & \text{If } 0 < r \leq b \text{ Choked Flow} \\ \frac{P_u}{\sqrt{RT_o}} \sqrt{1 - \left(\frac{r-b}{1-b}\right)^2} & \text{If } b < r \leq 1 \text{ Subsonic Flow}; \end{cases}$$

$$r = P_d/P_u,$$

گرفته است. همچنین برای جلوگیری از افزایش میزان فراجهش^۱ و کاهش خطای حالت ماندگار از عمل انتگرالی محدود^۲ استفاده شده که پیش از این هم توسط محققین دیگر به کار رفته است [۹]. در این روش، تنها وقتی که قدرمطلق خطای خطا ($e(k)$) درون محدوده کوچک ($|e(k)| < \delta$) قرار داشته باشد، عمل انتگرالی صورت می‌گیرد. مقادیر نهایی بهره‌های کنترلر PID و مقدار δ به کار رفته در شبیه‌سازی‌های عددی و تست‌های تجربی در جدول ۱ رائه شده‌اند.

جدول ۱(۱): مقادیر نهایی بهره‌های کنترلر PID و مقدار δ .

| | Proportional gain: k_p | Bounded integration gain: k_i | Derivative gain: k_d | δ |
|--------------------|--------------------------|---------------------------------|------------------------|----------|
| Simulation value | 246 | 492 | 4.15 | 3 |
| Experimental value | 264 | 377 | 4.45 | 1 |

۵- کنترلر مود لغزشی

به منظور ارزیابی سیستم کنترل مود لغزشی برای کنترل موقعیت پیستون، در این قسمت به طراحی کنترلر مود لغزشی می‌پردازیم. برای این کار نیاز است که معادله سیستم سرو نیوماتیک به فرم رابطه (۶) استخراج گردد.

$$x^{(n)} = f(\bar{X}) + b(\bar{X})u \quad (6)$$

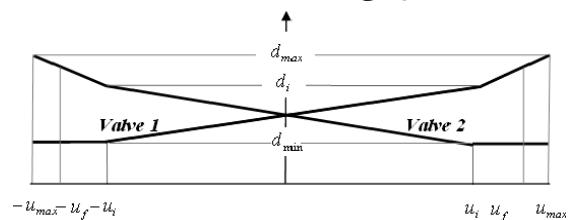
در رابطه فوق، x خروجی سیستم (موقعیت پیستون)، u ورودی کنترلی و \bar{x} بردار متغیرهای حالت به فرم $\bar{X} = [x \dot{x} \dots x^{(n-1)}]^T$ می‌باشد. برای رسیدن به این منظور، با مشتق گیری از طرفین رابطه (۲) و قراردهی مقادیر نرخ تغییرات فشار محفظه‌ها از رابطه (۳) در معادله حاصل و پس از مرتب‌سازی، رابطه (۷) حاصل می‌شود.

$$\ddot{x} = \frac{A_1 P_1 k}{mv_1} \left[\dot{m}_{in_1} \frac{T_{in} R}{P_1} - \dot{m}_{out_1} \frac{T_1 R}{P_1} - A_1 \dot{x} \right] - \frac{A_2 P_2 k}{mv_2} \left[\dot{m}_{in_2} \frac{T_{in} R}{P_2} - \dot{m}_{out_2} \frac{T_2 R}{P_2} \right] - \frac{\beta}{m} \ddot{x} \quad (7)$$

از آنجایی که باید مقدار ورودی کنترلی u در هر دوره (هر ۱۶ میلی‌ثانیه) به روز^۳ شود، مقدار متغیرهای PWM

و از این طریق می‌توان به سرعت‌های مختلف پیستون دست یافت.

طرح‌های مختلفی برای تبدیل مقدار سیگنال u به مقادیر نسبت وظیفه شیرها (نسبت زمان روشن بودن شیر به دوره) (PWM) معرفی شده‌اند [۹-۱۱ و ۱۴-۱۳]. الگوریتم به کار برده شده توسط بارس و شن همکارانش [۱۳-۱۴] توانایی از بین بردن اثر غیرخطی کننده زمان مرده و باند مرده را نداشت. اما وان‌وارسلد [۹] برای رفع اشکالاتی چون باند مرده، غیرخطی بودن رابطه ورودی- خروجی و پایین بودن سرعت سیستم در الگوریتم‌های موجود PWM، طرح جدیدی معرفی نمود. در این مقاله نیز، از این روش بهره گرفته شده است و دیاگرام آن در شکل ۲ دیده می‌شود. در این طرح، مقدار نسبت وظیفه هر شیر، مجاز به کمتر شدن از مقدار مینیمم d_{min} است، که برابر نسبت زمان پاسخ شیر به دوره PWM است، نمی‌باشد. برای حفظ نسبت خطی بین ورودی- خروجی سیستم، در زمان‌هایی که مقدار نسبت وظیفه شیر دیگر با شیب دو برابر نسبت به تغییرات u افزایش می‌یابد.



شکل (۲): چگونگی اعمال پالس به شیرها در مقابله PWM ورودی کنترلی u در الگوریتم

در این روش، دوره PWM برابر ms ۱۶ در نظر گرفته شده است و مقدار d_{min} از تقسیم زمان پاسخ شیر (۳/۴ ms) بر مقدار این زمان، به دست آمده است.

۶- کنترلر PID

در این قسمت، به طراحی کنترلر کلاسیک از نوع PID برای کنترل عملکرد سیستم نیوماتیک مورد بررسی می‌پردازیم. مقادیر بهره‌های کنترلر PID به روش زیگلر-نیکولز تعیین شده که پس از انجام چند نمونه شبیه‌سازی و تست‌های تجربی، تصحیحات نهایی روی آنها صورت

1-Overshoot

2-Bounded Integration

3-Update

در روابط فوق، k_{val} ثابت عبور جریان هوا از شیر، در یک دوره PWM است. از آنجایی که مقدار این عامل به ازای مقادیر مختلف u ثابت نمیباشد و تعیین تابعی از u برای مقدار k_{val} ، کار مشکل و بینتوجه است؛ به همین دلیل برای محاسبه مقدار توابع $f(\vec{x})$ و $b(\vec{x})$ ، از مقادیر متوسط دبی‌های جرمی در یک دوره PWM استفاده مینماییم. از آنجایی که به ازای پنج بازه تغییرات u پنج رابطه برای تبدیل مقدار u به مقدار نسبت وظیفه هر شبکه وجود دارد، به همین دلیل پنج رابطه برای این توابع به دست میآید (روابط ۳۱-۳۲).

If $-u_i \leq u \leq u_i$

$$f(\vec{x}) = \frac{A_1 k}{m} \left[\frac{RT_{in}}{V_1} \cdot \frac{\bar{m}_{in_1}}{1+u} - \frac{RT_1}{V_1} \cdot \frac{\bar{m}_{out_1}}{1-u} - \frac{P_1}{V_1} \dot{V}_1 \right] - \frac{A_2 k}{m} \left[\frac{RT_{in}}{V_2} \cdot \frac{\bar{m}_{in_2}}{1-u} - \frac{RT_2}{V_2} \cdot \frac{\bar{m}_{out_2}}{1+u} - \frac{P_2}{V_2} \dot{V}_2 \right] - \frac{\beta}{m} \ddot{x} \quad (22)$$

$$b(\vec{x}) = \frac{A_1 k}{m} \left[\frac{RT_{in}}{V_1} \cdot \frac{\bar{m}_{in_1}}{1+u} + \frac{RT_1}{V_1} \cdot \frac{\bar{m}_{out_1}}{1-u} \right] - \frac{A_2 k}{m} \left[\frac{RT_{in}}{V_2} \cdot \frac{\bar{m}_{in_2}}{1-u} - \frac{RT_2}{V_2} \cdot \frac{\bar{m}_{out_2}}{1+u} \right] \quad (23)$$

else If $u_i < u \leq u_f$

(24)

$$f(\vec{x}) = \frac{A_1 k}{m} \left[\frac{RT_{in}}{V_1} \cdot \frac{d_{min} \bar{m}_{in_1}}{d_{min} + u} - \frac{RT_1}{V_1} \cdot \frac{d_i \bar{m}_{out_1}}{d_i - u} - \frac{P_1}{V_1} \dot{V}_1 \right] - \frac{A_2 k}{m} \left[\frac{RT_{in}}{V_2} \cdot \bar{m}_{in_2} - \frac{RT_2}{V_2} \cdot \bar{m}_{out_2} - \frac{P_2}{V_2} \dot{V}_2 \right] - \frac{\beta}{m} \ddot{x} \quad (25)$$

$$b(\vec{x}) = \frac{A_1 k}{m} \left[\frac{RT_{in}}{V_1} \cdot \frac{\bar{m}_{in_1}}{d_{min} + u} + \frac{RT_1}{V_1} \cdot \frac{\bar{m}_{out_1}}{d_{min} - u} \right]$$

else If $u > u_f$

(26)

$$f(\vec{x}) = \frac{A_1 k}{m} \left[\frac{RT_{in}}{V_1} \cdot \frac{d_{min} \bar{m}_{in_1}}{d_{min} + u} - \frac{P_1}{V_1} \dot{V}_1 \right] - \frac{A_2 k}{m} \left[\frac{RT_{in}}{V_2} \cdot \bar{m}_{in_2} - \frac{RT_2}{V_2} \cdot \bar{m}_{out_2} - \frac{P_2}{V_2} \dot{V}_2 \right] - \frac{\beta}{m} \ddot{x}$$

$$b(\vec{x}) = \frac{A_1 k}{m} \cdot \frac{RT_{in}}{V_1} \cdot \frac{\bar{m}_{in_1}}{d_{min} + u} \quad (27)$$

else If $-u_f \leq u < -u_i$

حالت در رابطه (۷)، مقدار میانگین آن‌ها در یک دوره میباشدند. مقدار میانگین دبی‌های جرمی در هر دوره با توجه به الگوریتم PWM به کار برده شده، از روابط (۸) تا (۸-۲۱) به دست میآیند.

If $-u_i \leq u \leq u_i$

$$\bar{m}_{in_1} = f(P_1).k_{val}.dc_1 = f(P_1).k_{val}.(0.5u + 0.5) \quad (8)$$

(9)

$$\bar{m}_{out_1} = f(P_1, T_1).k_{val}.(1-dc_1) = f(P_1, T_1).k_{val}.(-0.5u + 0.5)$$

$$\bar{m}_{in_2} = f(P_2).k_{val}.dc_2 = f(P_2).k_{val}.(-0.5u + 0.5) \quad (10)$$

(11)

$$\bar{m}_{out_2} = f(P_2, T_2).k_{val}.(1-dc_2) = f(P_2, T_2).k_{val}.(0.5u + 0.5)$$

else If $u_i \leq u \leq u_{max}$ (12)

$$\bar{m}_{in_1} = f(P_1).k_{val}.dc_1 = f(P_1).k_{val}.(u + d_{min})$$

(13)

$$\bar{m}_{out_1} = f(P_1, T_1).k_{val}.(1-dc_1) = f(P_1, T_1).k_{val}.(-u + d_i) \quad (14)$$

(14)

$$\bar{m}_{in_2} = f(P_2).k_{val}.dc_2 = f(P_2).k_{val}.d_{min} \quad (15)$$

(15)

$$\bar{m}_{out_2} = f(P_2, T_2).k_{val}.(1-dc_2) = f(P_2, T_2).k_{val}.d_i$$

else If $-u_{max} \leq u \leq -u_i$

$$\bar{m}_{in_1} = f(P_1).k_{val}.dc_1 = f(P_1).k_{val}.d_{min} \quad (16)$$

$$\bar{m}_{out_1} = f(P_1, T_1).k_{val}.(1-dc_1) = f(P_1, T_1).k_{val}.d_i \quad (17)$$

$$\bar{m}_{in_2} = f(P_2).k_{val}.dc_2 = f(P_2).k_{val}.(-u + d_{min}) \quad (18)$$

$$\bar{m}_{out_2} = f(P_2, T_2).k_{val}.(1-dc_2) = f(P_2, T_2).k_{val}.(u + d_i) \quad (19)$$

اگر مقدار $u > u_f$ یا $u < -u_f$ باشد، در آن صورت زمان فرمان ارسالی برای خاموششدن شیر، کمتر از زمان پاسخ شیر به هنگام خاموششدن میباشد و عملأً اجازه خروج جریان هوا از محفظه‌ها داده نمیشود. بنابراین در روابط (۱۳) و (۱۹) مقادیر \bar{m}_{out_2} ، \bar{m}_{out_1} برابر صفر میشوند.

If $u > u_f = 0.63125$

$$\bar{m}_{out_1} = 0$$

(20)

If $u < -u_f = -0.63125$

$$\bar{m}_{out_2} = 0$$

(21)

در رابطه فوق، Φ ضخامت لایه مرزی می‌باشد و sat نیز تابع اشباع است.

به منظور ارضای شرط لغش در رابطه (۳۴) $(\frac{1}{2} \frac{d}{dt} s^2 \leq -\eta |s|)$ ، تا سیستم از هر شرایط اولیه‌ای، مخالف شرایط اولیه مطلوب، بتواند خود را به سطح لغش برساند، مقدار k از رابطه (۳۵) بدست می‌آید.

$$k = \beta(F + \eta) + (\beta - 1)\hat{b}\hat{u} \quad (35)$$

در رابطه فوق، β حاشیه بهره کنترلی و F نیز بزرگترین مقدار عدم قطعیت روی f می‌باشد. مقدار \hat{b} در روابط (۳۴) و (۳۵)، میانگین هندسی حد بالا و پایین تخمین از مقدار b (بهره کنترلی) می‌باشد و از رابطه (۳۶) بدست می‌آید.

$$\hat{b} = (b_{\min} \cdot b_{\max})^{\frac{1}{2}} \quad (36)$$

در رابطه (۳۵)، η کمیتی همواره مثبت است و تضمین می‌نماید، سیستم در هر شرایط اولیه‌ای در زمانی کمتر از $t_{reach} \leq \frac{|s(t=0)|}{\eta}$ به صفحه لغشی برسد. بنابراین، متناسب در نظر گرفتن این ترم با خطای سیستم، باعث کوتاه‌تر شدن این زمان و در نتیجه کاهش خطای سیستم می‌گردد و چون s ، تابعی وزن دار از خطای موقعیت، سرعت، شتاب و انگرال خطای موقعیت می‌باشد و مؤید فاصله از صفحه لغشی است، مقدار η را در هر لحظه از رابطه (۳۷) محاسبه می‌شود.

$$\eta = \alpha s^2 \quad (37)$$

در رابطه فوق ترم α کمیتی همواره مثبت است و پس از بررسی چندین نمونه شبیه‌سازی و تست تجربی برابر $0.1 \leq \alpha \leq 0.5$ تعیین گردید. در رابطه (۳۴)، Φ ضخامت لایه مرزی از رابطه (۳۸) بدست می‌آید.

$$\Phi = \varepsilon \lambda^{n-1} \quad (38)$$

در رابطه فوق، ε پهنای لایه مرزی بوده و با توجه به حداقل مقدار ε در شبیه‌سازی‌ها و تست‌های تجربی برابر $10 \mu m$ تعیین شده است.

در رابطه (۳۵)، β از رابطه (۳۹) و F نیز از رابطه (۴۰) تعیین می‌شوند:

$$\beta = \left(\frac{b_{\max}}{b_{\min}} \right)^{\frac{1}{2}} \quad (39)$$

$$f(\vec{x}) = \frac{A_1 k}{m} \left[\frac{RT_{in}}{V_1} \cdot \bar{m}_{in_1} - \frac{RT_1}{V_1} \cdot \bar{m}_{out_1} - \frac{P_1}{V_1} \cdot \dot{V}_1 \right] \quad (28)$$

$$- \frac{A_2 k}{m} \left[\frac{RT_{in}}{V_2} \cdot \bar{m}_{in_2} \cdot d_{\min} - \frac{RT_2}{V_2} \cdot \bar{m}_{out_2} \cdot d_i - \frac{P_2}{V_2} \cdot \dot{V}_2 \right] - \frac{\beta}{m} \ddot{x} \quad (29)$$

$$b(\vec{x}) = \frac{A_2 k}{m} \left[\frac{RT_{in}}{V_2} \cdot \bar{m}_{in_2} + \frac{RT_2}{V_2} \cdot \bar{m}_{out_2} \right] \\ \text{else If } u < -u_f \quad (30)$$

$$f(\vec{x}) = \frac{A_1 k}{m} \left[\frac{RT_{in}}{V_1} \cdot \bar{m}_{in_1} - \frac{RT_1}{V_1} \cdot \bar{m}_{out_1} - \frac{P_1}{V_1} \cdot \dot{V}_1 \right] \\ - \frac{A_2 k}{m} \left[\frac{RT_{in}}{V_2} \cdot \bar{m}_{in_2} \cdot d_{\min} - \frac{P_2}{V_2} \cdot \dot{V}_2 \right] - \frac{\beta}{m} \ddot{x} \quad (31)$$

$$b(\vec{x}) = \frac{A_2 k}{m} \left[\frac{RT_{in}}{V_2} \cdot \bar{m}_{in_2} \right] \quad (32)$$

با در نظر گرفتن خطای موقعیت سیستم به فرم $\tilde{x} = x - x_d$ که روی صفحه لغشی، مطلوب پیشتون است، و در نظر گرفتن انتگرال خطای موقعیت به عنوان متغیر مورد نظر، سطح متغیر با زمان (t) در فضای متغیرهای حالت به شکل رابطه (۳۲) تعریف می‌شود [۱۶].

$$s(\tilde{x}, t) = \left(\frac{d}{dt} + \lambda \right)^{n-1} \left(\int_0^t \tilde{x} d\tau \right) \quad (32)$$

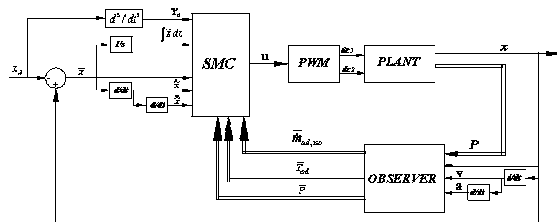
در رابطه فوق، λ ثابت پهنای باند کنترل (همواره مثبت) است. از آنجایی که روی صفحه لغشی، مطلوب این تغییرات فاصله از این صفحه برابر صفر گردد (قضیه فیلیپاف $\lambda = 0$) [۱۶]. در این صورت با توجه به عدم قطعیت‌های موجود در توابع f و b ، بهترین تخمین از قانون کنترلی معادل \hat{u} از رابطه (۳۳)، بدست می‌آید.

$$\hat{u} = \hat{b}^{-1} \left\{ \hat{f} + \tilde{x}_d - (3\lambda \tilde{x} + 3\lambda^2 \dot{\tilde{x}} + \lambda^3 \ddot{\tilde{x}}) \right\} \quad (33)$$

در رابطه فوق، \hat{f} و \hat{b} بهترین تخمین ما از توابع f و b هستند، اما به دلیل عدم قطعیت در سیستم، و برای جلوگیری از ایجاد پدیده حرکت نوسانی^۱، مقدار نهایی ورودی کنترلی u ، از روی قانون کنترلی غیربیوسته ملایم شده به شکل رابطه (۳۴) بدست می‌آید.

$$u = \hat{u} - k \hat{b}^{-1} sat(s/\Phi) \quad (34)$$

1-Chattering



شکل (۳): بلوک- دیاگرام کنترلر مود لغزشی (SMC).

مقادیر موقعیت، سرعت و شتاب پیستون نیز با استفاده از سنسور موقعیت و دوبار مشتق‌گیری متوالی از آن به دست می‌آیند.

۶- معرفی مجموعه آزمایشگاهی

تصویر مجموعه آزمایشگاهی به کار گرفته شده در این تحقیق در شکل ۴ دیده می‌شود. عملگر سیستم از یک سیلندر دو طرفه نیوماتیکی تشکیل شده است. کورس پیستون ۱۲۵ mm و قطر داخلی آن ۲۵ mm می‌باشد. پیستون به یک پتانسیومتر خطی (از نوع GEFTRAN LT-M-175-P) متصل شده تا موقعیت آن را بتوان اندازه‌گیری نمود. شیرهای قطع/وصل مورد استفاده دارای زمان پاسخ کوتاه (در حدود ۲ ms) و نرخ جریان بالا بوده و می‌توانند در فرکانس‌های بالا (۳۳۰ Hz) کار نمایند. برای سوئیچ نمودن ولتاژ ۲۴ VDC روی سلنوئید شیرها به هنگام ارسال پالس دیجیتال volt ۵ از کامپیوتر، از دو رله حالت جامد^۲ که توانایی سوئیچ شدن با فرکانس بالا را دارند، استفاده شده است. از دو سنسور فشار (از نوع BD 26.600-1002-1-100-300-500 آنالوگ سنسورهای فشار و سنسور موقعیت به سیگنال دیجیتال برای ورود به کامپیوتر، از کارت اکتساب داده‌ها (از نوع ADVANTECH- PCI 1710HG) با دقت ۱۲ بیت استفاده شده است.

$$\hat{f} = \frac{f_{\max} + f_{\min}}{2} ; \quad F = f_{\max} - \hat{f} \quad (40)$$

مقدار λ نیز، با توجه به بیشترین تأخیر زمانی سیستم ($t_A = 4\text{ msec}$) در عملگر در حدود می‌باشد) و از رابطه (۴۱) برابر ۸۵ در نظر گرفته شده است [۱۶].

$$\lambda \leq \lambda_A = \frac{1}{3T_A} \approx 85 \quad (41)$$

اما، تعیین مقادیر f_{\max} f_{\min} b_{\max} در روابط (۳۹) و (۴۰) با توجه به میزان عدم قطعیت‌های موجود در مدل‌سازی سیستم انجام می‌گیرد. اگر بخواهیم عدم قطعیت‌های پارامتری موجود در مدل‌سازی را دسته‌بندی نماییم، با سه مورد زیر روبه‌رو خواهیم بود:

- عدم دقت در اندازه‌گیری ثبات نرخ جریان شیرها،

- عدم دقت در تعیین مقادیر ترم‌های اصطکاکی،

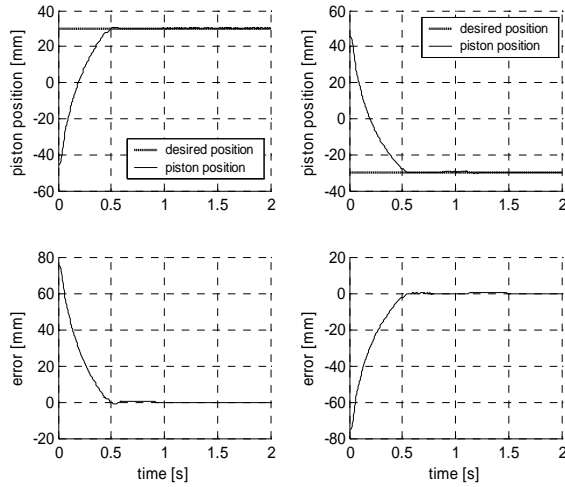
- سپری‌شدن فرآیندی مابین حالت آدیابتیک و ایزوتermal، به هنگام پر و خالی شدن محفظه‌های سیلندر از هوا.

با توجه به مقاوم بودن کنترلر مود لغزشی و کوچکتر بودن عدم قطعیت پارامتری، از عدم دقت در اندازه‌گیری ثبات نرخ جریان شیرها و ترم‌های اصطکاکی در مقابل عدم قطعیت ناشی از فرآیند ترمودینامیکی سپری شده در سیستم، صرف‌نظر می‌نماییم.

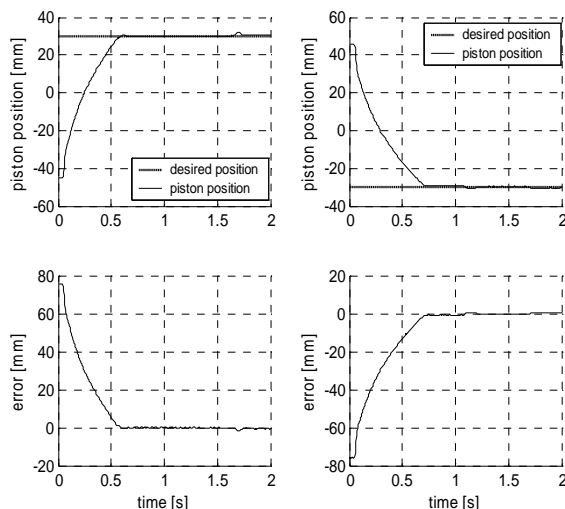
برای محاسبه میزان عدم قطعیت ناشی از فرآیند ترمودینامیکی سپری شده در سیستم، مقادیر f, b را در روابط (۲۲) تا (۳۱) برای دو فرایند آدیابتیک (f_{aa}, b_{ad}) و ایزوتermal (f_{iso}, b_{iso}) با قراردهی مقدار k را در روابط مذکور، به ترتیب برابر $1/4$ و 1 محاسبه می‌گردد و به این ترتیب مقادیر ماقبض ماکزیمم و مینیمم این پارامترها در هر دوره PWM به دست می‌آیند.

به این ترتیب، بلوک- دیاگرام کنترلر مود لغزشی به حالت نشان داده شده در شکل ۳ می‌باشد که در آن در بلوک SMC، مقدار u با استفاده از رابطه (۳۴) محاسبه می‌گردد. بلوک مشاهده‌گر^۱ نیز برای محاسبه مقادیر میانگین متغیرهای حالت سیستم در یک دوره PWM در نظر گرفته شده است.

ورودی‌های باقی نمی‌ماند. شکل ۸ پاسخ شبیه‌سازی کنترلر PID را به ورودی‌های سینوسی با دامنه و فرکانس‌های متفاوت نشان می‌دهد.



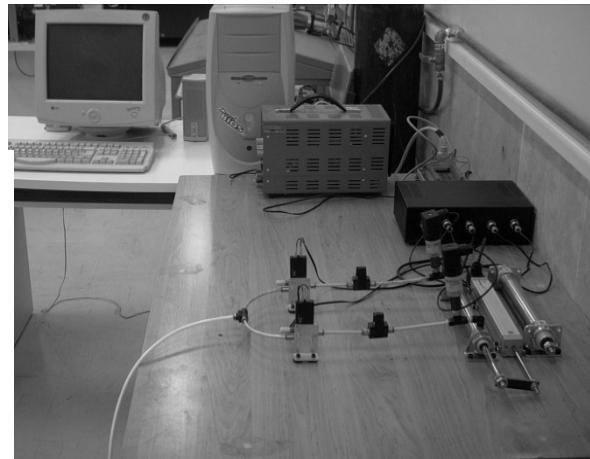
شکل (۵): نتایج شبیه‌سازی کنترلر PID به ورودی‌های پله مثبت و منفی.



شکل (۶): نتایج تجربی کنترلر PID به ورودی‌های پله مثبت و منفی.

نتایج تجربی پاسخ این کنترلر به چنین ورودی‌هایی در شکل ۹ ارائه شده است.

برای بررسی کارآیی کنترلر PID به ورودی‌های سینوسی نیز، شبیه‌سازی‌های اولیه صورت گرفته است.



شکل (۴): تصویر مجموعه آزمایشگاهی ساخته شده.

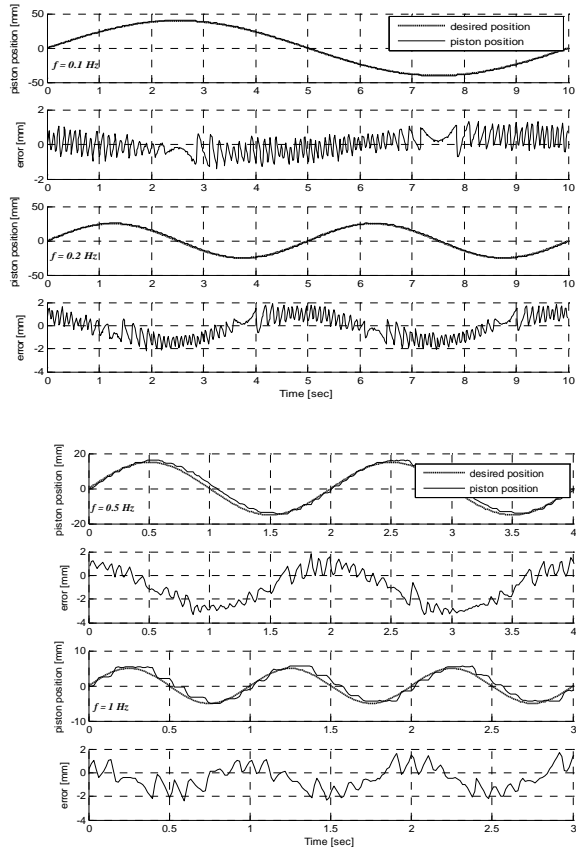
۷- نتایج شبیه‌سازی و ارزیابی تجربی

شکل ۵ پاسخ شبیه‌سازی کنترلر PID را به ورودی‌های پله مثبت و منفی با دامن ۷۵ mm نشان می‌دهد. در شکل ۶ نیز، پاسخ تست‌های تجربی در ازای این ورودی‌ها دیده می‌شود. مقادیر زمان فرونشینی، خطای حالت ماندگار، زمان برخاست و میزان فراجهش این پاسخ‌ها در جدول ۱ ارائه شده‌اند.

برای در نظر گرفتن اثر نویز سنسور موقعیت در شبیه‌سازی‌ها، یک متغیر اتفاقی با توزیع گوسی که دارای مقدار متوسط صفر و واریانس $4 / ۰۰۰$ می‌باشد و به مانند نویز اندازه‌گیری پتانسیومتر خطی استفاده شده است، به مقدار سیگنال x (موقعیت پیستون) اضافه گردیده است. برای نشان دادن توانایی کنترلر PID در پاسخ به ورودی‌های پله با دامنه‌های متفاوت و در جهات مختلف نیز، نتایج شبیه‌سازی و تجربی سیستم به ورودی چندپله^۱ در شکل ۷ نشان داده شده است. بالاترین خطای حالت ماندگار در پاسخ‌های شبیه‌سازی و تجربی سیستم به ورودی چندپله، به ترتیب برابر $0 / ۲$ mm و $0 / ۳$ mm است.

از آنجایی که مقادیر خطای حالت ماندگار به دست آمده در پاسخ کنترلر PID در کلیه تست‌ها، بسیار کم و نزدیک به حد دقت قابل اندازه‌گیری سیستم تشخیص موقعیت می‌باشد، دیگر جایی برای طراحی کنترلرهای غیرخطی پیچیده‌تر و تواناتر در پاسخ به چنین

متوسط مربع (RMS) خطأ در پاسخ شبیه‌سازی عددی و تست‌های تجربی کنترلرهای SMC و PID در جداول ۲ و ۳ ارائه شده‌اند.

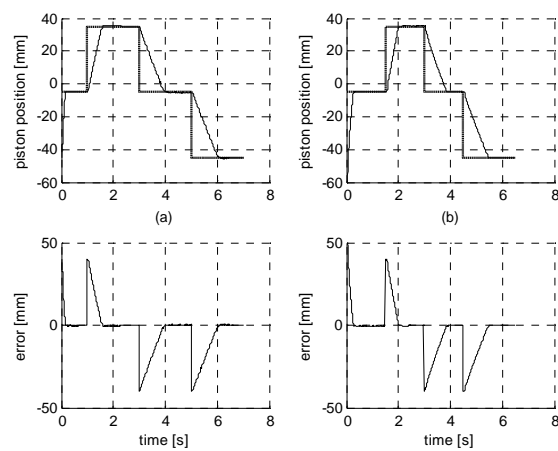


شکل (۹): نتایج تجربی کنترلر PID به ورودی‌های سینوسی.

برای اطلاع از چگونگی تغییرات ترم‌های $\hat{f}, S, \hat{b}, \beta, F$ ، مقادیر به دست آمده آن‌ها از تست‌های تجربی به ازای پاسخ سیستم به ورودی سینوسی با فرکانس $0/1 \text{ Hz}$ و دامنه 40 mm در شکل ۱۲ نشان داده شده است.

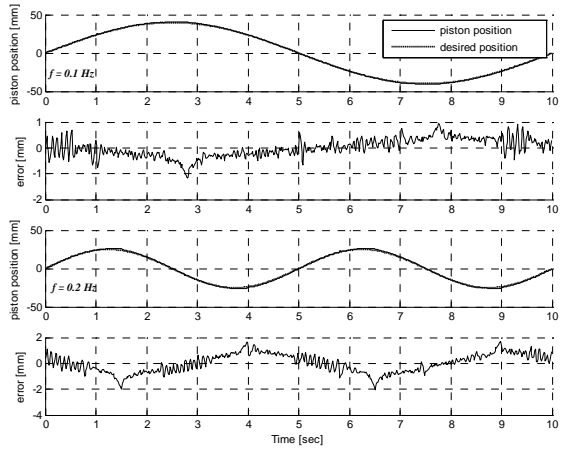
برای اعمال اثر نویز سنسورهای فشار در شبیه‌سازی‌های عددی، یک متغیر اتفاقی با توزیع گوسی که دارای مقدار متوسط $= 0$ و $\sigma^2 = 0.0001 \text{ bar}^2$ واریانس^۲ می‌باشد، به مقدار سیگنال فشار اضافه گردیده است تا شرایط دستگاه واقعی تا حد زیادی رعایت گردد.

۱-Mean Value
۲-Variance



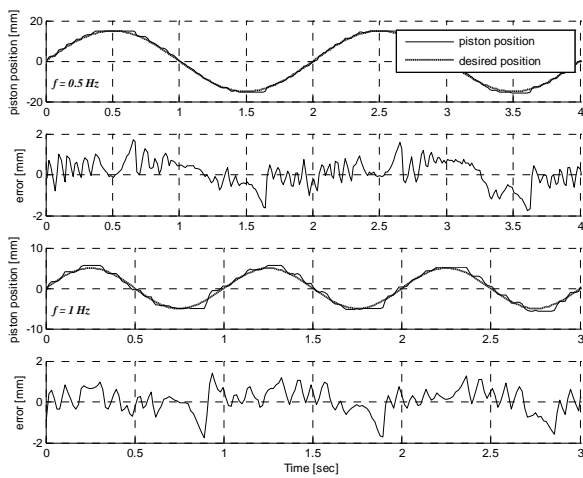
شکل (۷): نتایج تجربی کنترلر PID به ورودی‌های چندپله

(a): نتایج شبیه‌سازی (b): نتایج تجربی.



شکل (۸): نتایج شبیه‌سازی کنترلر PID به ورودی‌های سینوسی.

نتایج شبیه‌سازی و تجربی کنترلر مود لغزشی در پاسخ به ورودی‌های سینوسی با دامنه و فرکانس‌های متفاوت در شکل‌های ۱۰ و ۱۱ نشان داده شده است. برای اختصار در نمودارهای حاصل از شبیه‌سازی‌های عددی، فقط پاسخ سیستم به فرکانس‌های $0/1 \text{ Hz}$ و $0/2 \text{ Hz}$ ارائه شده است. دلیل انتخاب کاهش مقدار دامنه در ازای افزایش فرکانس به ورودی‌های مرجع، آن است که سیستم حلقه‌باز توانایی تعقیب چنین مسیری را از لحظه دینامیکی داشته باشد. مشخصات ورودی‌های سینوسی اعمال شده و مقادیر خطای ماقزیم، انتگرال قدرمطلق خطأ و مقدار مجدول



شکل (۱۱): نتایج تجربی کنترلر SMC به ورودی‌های سینوسی.

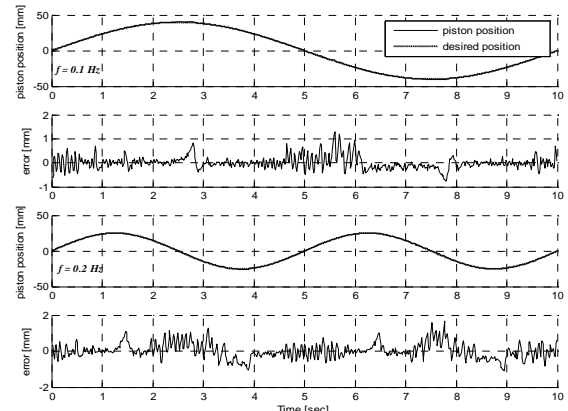
نتایج تست‌های تجربی ارائه شده در جدول ۳ بر تواناتر بودن کنترلر مود لغزشی نسبت به کنترلر PID صحه می‌گذارند؛ به طوری که مقادیر RMS خطای این کنترلر در مقایسه با کنترلر PID، به ازای ورودی‌های سینوسی با فرکانس‌های 0.1 ، 0.2 و 0.5 هرتز، به ترتیب کاهش 29% ، 60% و 44% را نشان می‌دهد. هر چند که این کاهش، برای مقادیر خطای ماکزیمم چندان درخشنan نیست؛ اما به هر حال، این نتایج نشان می‌دهد که کنترلر مود لغزشی، باعث تعقیب بهتری در کل مسیر حرکت می‌شود.

جدول (۲): نتایج شبیه‌سازی کنترلرهای PID و SMC

به ورودی‌های سینوسی.

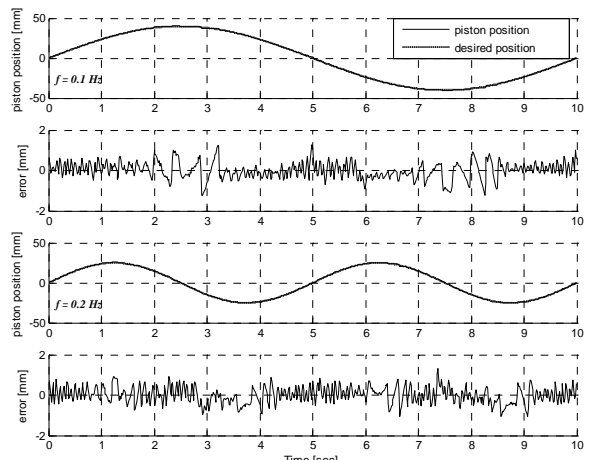
| Characteristic Input | | maximum error [mm] | | RMS error [mm] | |
|----------------------|----------------|--------------------|-----|----------------|------|
| Frequency [Hz] | Amplitude [mm] | PID | SMC | PID | SMC |
| 0.1 | 40 | 1 | 1.3 | 0.36 | 0.26 |
| 0.2 | 25 | 1.7 | 1.6 | 0.71 | 0.42 |
| 0.5 | 15 | 3.5 | 2.4 | 2.24 | 1.08 |

با نگاهی به نتایج شبیه‌سازی در جدول ۲ می‌بینیم که برای ورودی سینوسی با فرکانس 0.1 Hz و دامنه 40 mm، اگرچه مقدار ماکزیمم خطای از حدود 0.95 mm در کنترلر PID به حدود 0.28 mm در کنترلر SMC افزایش یافته، ولی مقادیر RMS خطای کنترلر SMC یک کاهش 27% را در پاسخ کنترلر SMC نشان می‌دهد. یعنی کنترلر SMC در کل مسیر حرکت، تعقیب بهتری انجام داده است. اما کارایی کنترلر مود لغزشی در فرکانس‌های بالاتر بهتر مشخص می‌شود، به طوری که برای ورودی سینوسی با فرکانس 0.2 Hz، کنترلر مود لغزشی مقادیر RMS خطای را، در حدود 40% کاهش داده است. این افزایش کارآیی در نتایج شبیه‌سازی به ورودی سینوسی با فرکانس 0.5 Hz نیز دیده می‌شود.

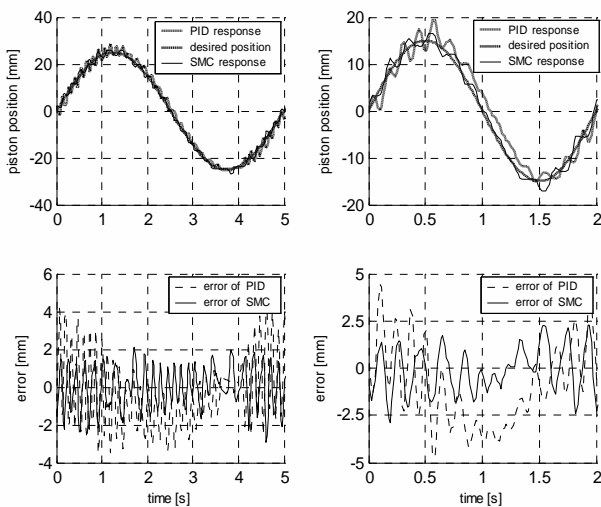


شکل (۱۰): نتایج شبیه‌سازی کنترلر SMC

به ورودی‌های سینوسی.



برای بررسی میزان مقاوم بودن کنترلرها به افزایش بار در سیستم، پاسخ این کنترلرها به ورودی‌های سینوسی با فرکانس‌های $0.1/2$ و $0.5/5$ Hz، در ازای افزایش بار تا حدود ۶ برابر (از ۳۳۵ gr به حدود ۱۸۰۰ gr) با یکدیگر مقایسه گردید. پاسخ این کنترلرها در شکل ۱۳ نشان داده شده است. در جدول ۴ نیز، مقدار خطای ماقبیم و RMS خطای در این پاسخ‌ها، ارائه شده است.



شکل (۱۳): مقایسه پاسخ دو کنترلر PID و SMC، در مقابل افزایش جرم سیستم.

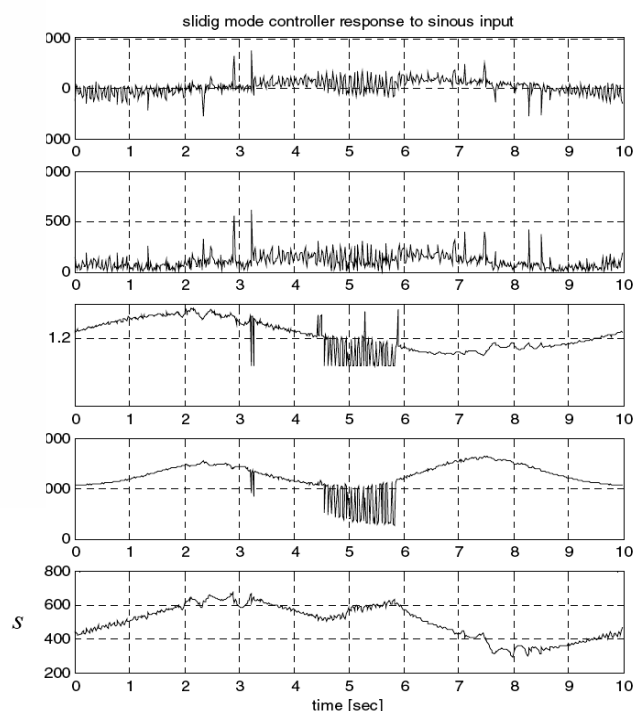
جدول (۴): مقایسه نتایج تجربی کنترلرهاي PID و SMC در مقابل افزایش بار سیستم.

| Input Characteristic | Maximum error [mm] | | RMS error [mm] | |
|----------------------|--------------------|-----|----------------|------|
| | PID | SMC | PID | SMC |
| Frequency [Hz] | Amplitude [mm] | | | |
| 0.2 | 25 | 4.6 | 3.0 | 1.79 |
| 0.5 | 15 | 4.5 | 2.9 | 2.35 |
| | | | | 1.09 |

همانطورکه از این نتایج پیداست، کنترلر مود لغزشی، نسبت به افزایش بار در سیستم، مقاوم‌تر می‌باشد. از آنجایی که با افزایش بار در سیستم، مقدار نیروی اصطکاک افزایش می‌یابد، این آزمایش معیاری از مقاوم بودن کنترلر به تغییر در مقدار اصطکاک نیز در اختیار ما قرار می‌دهد.

جدول (۳): نتایج تجربی کنترلرهاي PID و SMC به ورودی‌های سینوسی.

| Characteristic Input | | maximum error[mm] | | RMS error[mm] | |
|----------------------|----------------|-------------------|-----|---------------|------|
| Frequency [Hz] | Amplitude [mm] | PID | SMC | PID | SMC |
| 0.1 | 40 | 1.3 | 1.2 | 0.56 | 0.4 |
| 0.2 | 25 | 1.9 | 1.3 | 0.98 | 0.4 |
| 0.5 | 15 | 1.8 | 1.7 | 1.73 | 0.58 |
| 1 | 5 | 1.7 | 1.6 | 1.09 | 0.61 |



شکل (۱۲): چگونگی تغییرات ترمehای $S, \hat{b}, \beta, F, \hat{f}$ به هنگام پاسخ سیستم به ورودی سینوسی با دامنه 40 mm و فرکانس $0.1/5\text{ Hz}$ (مقادیر تجربی).

همچنین، مقایسه این نتایج (بیشترین خطای $1/3\text{ mm}$ و RMS خطای $0.4/0.2\text{ mm}$ در فرکانس $0.1/2\text{ Hz}$ و دامنه 25 mm) با نتایج لی و همکارانش (بیشترین خطای $0.2/1\text{ mm}$ در فرکانس $2/1\text{ Hz}$ و RMS خطای $0.6/0.2\text{ mm}$ و دامنه 30 mm) که بهترین نتایج را نسبت به بقیه محققان گرفته‌اند [۸]، کاهش بسیار مطلوبی را در مقادیر خطای ماقبیم و RMS خطای نشان می‌دهد، هر چند که آنها از شیرهای قوی‌تر و گران‌تر تناسبی استفاده نمودند.

- and Control, Vol. 113, No. 2, pp. 267-272, 1991.
2. McDonell, B.W. and Bobrow, J.E. "Adaptive Tracking Control of an Air Powered Robot Actuator" J. Dynamic Systems, Measurement, and Control, Vol. 115, No. 1, pp. 427- 433, 1993.
 3. Surgenor, B.W. and Vaughan, N.D., "Continuous Sliding Mode Control of a Pneumatic Actuator", J. Dynamic Systems, Measurement, and Control, Vol. 119, No. 9, pp. 578-581, 1997.
 4. Wang, J., Pu J., and Moore P. "A Practical Control Strategy for Servo-pneumatic Actuator Systems", Control Eng. Practice, Vol. 7, No. 2, pp. 1483-1488, 1999.
 5. Wang, J., Wang, D.J.D., Pu J., and Moore, P. "Modeling Study, Analysis and Robust Servo-Control of Pneumatic Cylinder Actuator Systems", IEE Proc. Control Theory Appl., Vol. 148, No. 1, 2001.
 6. Richer, E. and Hurmuzlu, Y. "A High Performance Pneumatic Force Actuator System, Part 1- Non-linear Mathematical Model", J. Dynamic Systems, Measurement, and Control, Vol. 122, No.3, pp. 416-425, 2000.
 7. Richer, E. and Hurmuzlu, Y. "A High Performance Pneumatic Force Actuator System, Part 2- Non-linear Controller Design", J. Dynamic Systems Measurement, and Control, Vol. 122, No.3, pp. 426-434, 2000.
 8. Lee, H.K., Choi, G.S., and Choi, G.H. "A Study on Tracking Position Control of Pneumatic Actuators", J. Mechatronics, Vol. 12, No. 1, pp. 813-831, 2002.
 9. Varseveld, R.B. and Bone, G.M. "Accurate Position Control of a Pneumatic Actuator, Using On/Off Solenoid Valves", IEEE/ASME Transactions on Mechatronics, Vol. 2, No. 3, pp. 195-204, 1997.
 10. Gentile, A., Giannoccaro, N.I., and Reina, G., 2002, "Experimental Tests on Position Control of a Pneumatic Actuator, Using On/Off Solenoid Valves", IEEE/ICIT Conf., Bangkok, Thailand, pp. 555-559, 2002.
 11. Ahn, K. and Yokota, Sh., "Intelligent Switching Control of Pneumatic Actuator, Using On/Off Solenoid Valves", J. Mechatronics, Vol. 15, No. 3, pp. 683-702 , 2005.
 12. Arun, P.K., Mishra, J.K., and Radke, M.G. "Reduced Order Sliding Mode Control for Pneumatic Actuator", IEEE Transactions on Control Systems Technology, Vol. 2, No. 3, pp. 271-276, 1994.

۷- نتیجه‌گیری

در این مقاله، دو کنترلر PID و مود لغزشی بر اساس روش PWM خاصی به منظور کنترل موقعیت سیلندر دوطرفه نیوماتیکی کنترل شده به وسیله شیرهای سلنوئیدی قطع/وصل طراحی شده است. شبیه‌سازی عددی و تست تجربی برای مقایسه کارآیی دو کنترلر انجام گرفته است. الگوریتم PWM مورد استفاده به گونه‌ای است که باعث حذف زمان مرده به دلیل زمان تأخیر شیرها و باند مرده در اثر وجود چسبندگی بین پیستون و جداره سیلندر می‌شود. برای آگاهی از کارآیی این الگوریتم، تست‌های پله و چندپله سیستم حلقه بسته با استفاده از کنترلر PID صورت گرفته است. بالاترین خطای حالت ماندگار دیده شده در نتایج تجربی به ازای این ورودی‌ها، $0.3/0$ میلی متر بود که از دقت بسیار خوب این الگوریتم و کنترلر PID حکایت داشت. دقت‌های خوب به دست آمده در این پاسخ‌ها که نزدیک به حد دقت قابل اندازه‌گیری توسط سنسور موقعیت بود، نیاز به طراحی کنترلر قوی‌تر را در ازای چنین ورودی‌هایی از بین می‌برد.

اما پاسخ این کنترلر به ورودی‌های سینوسی دقت‌های نسبتاً ضعیفی را به همراه داشت که با توجه به غیرخطی بودن بالای سیستم‌های نیوماتیک و عدم قطعیت‌های موجود در مدل‌سازی سیستم، از کنترلر مدل‌لغزشی برای رسیدن به دقت‌های بالاتر استفاده شد. نتایج حاصل از این کنترلر، دقت‌های بالاتری را نسبت به کنترلر PID نشان داد. این افزایش کارآیی، وقتی که فرکانس ورودی مرجع افزایش می‌یافتد، بیشتر دیده شد. همچنین، در مقایسه مقدار ماقادیر ماکزیمم خطأ و RMS خطأ با نتایج محققان قبلی، افزایش دقت چشمگیری مشاهده شد؛ در عین حالی که آنها از شیرهای گران‌تر و البته تواناتر تناسبی استفاده نمودند. همچنین نتایج حاصل از کنترلر سیستم، وقتی جرم آن تا 6 برابر افزایش داده شد، از مقاومت بودن کنترلر مدل‌لغزشی حکایت دارد.

مراجع

1. Bobrow, J.E. and Jabbari, F. "Adaptive Pneumatic Force Actuation and Position Control", J. Dynamic Systems, Measurement,

13. Barth, J.E., Zhang, J., and Goldfarb, M. "Sliding Mode Approach to PWM-Controlled Pneumatic Systems", The American Control Conf., Anchorage, AK, USA, pp. 2362-2367, 2002.
14. Shen, X., Barth, J.E., Zhang, J., and Goldfarb, M. "Non-linear Averaging Applied to the Control of Pulse Width Modulated (PWM) Pneumatic Systems", The American Control Conf., Boston, Massachusetts, USA, pp. 4444-4448, 2004.
15. Messina, A., Giannocaro, N.I., and Gentile A., "Experimenting and Modelling the Dynamics of Pneumatic Actuators Controlled by the Pulse Width Modulation (PWM) Technique", J. Mechatronics, Vol. 8, No. 1, pp.421-444, 2005.
16. Slotine, J.E. "Applied Non-linear Control", Prentice-Hall, New Jersey, 1995.
17. "ISO6358, 1989, Pneumatic Fluid Power – Components, Using Compressible, Fluids-Determination of Flow-Rate Characteristics", SMC JAPAN Co., Ltd., 2004.